

## 基础研究

ApoE4在U87细胞中可增加GSK-3 $\beta$ 的表达及Tau的磷酸化何颜结<sup>1,2</sup>, 卫佩如<sup>3</sup>, 伍巧燕<sup>1</sup>, 张馨宇<sup>3</sup>, 张兴梅<sup>1</sup>, 刘晓加<sup>2</sup>, 王 方<sup>1</sup>南方医科大学<sup>1</sup>基础医学院神经生物学教研室,<sup>2</sup>南方医院神经内科,<sup>3</sup>第一临床医学院, 广东 广州 510515

**摘要:**目的 探讨ApoE4与GSK-3 $\beta$ 及Tau蛋白超磷酸化之间的关系,为研究ApoE4在阿尔茨海默病(AD)中的作用机制提供实验依据。方法 分别将对照质粒载体pIRES-EGFP、重组质粒ApoE4/pIRES-EGFP和ApoE3/pIRES-EGFP转染U87脑星形胶质细胞系,用免疫蛋白印迹法(Western blotting)检测p-Tau/Tau及GSK-3 $\beta$ 蛋白水平的变化。在U87细胞中转入干扰ApoE表达的siRNA(ApoE-siRNA)及对照siRNA,检测p-Tau/Tau及GSK-3 $\beta$ 蛋白的改变情况。将质粒转染前后及siRNA干扰前后目标蛋白的含量或磷酸化水平的改变进行统计学比较。结果 与对照组相比,GSK-3 $\beta$ 蛋白水平的相对值分别为:ApoE4组( $1.819 \pm 0.130$ ,  $P < 0.01$ ,  $n=3$ )和ApoE3组( $1.336 \pm 0.130$ ,  $P < 0.01$ ,  $n=3$ ),差异具显著差异,且ApoE4和ApoE3组比较也具有显著性差异( $P < 0.01$ )。同样,相对于对照组,ApoE4和ApoE3组的磷酸化Tau蛋白(p-Tau)的相对值分别为 $1.587 \pm 0.027$  ( $P < 0.01$ ,  $n=3$ )和 $1.436 \pm 0.026$  ( $P < 0.01$ ,  $n=3$ ),均具显著差异;且ApoE4组较ApoE3组的促进作用更强,两组间具显著差异( $P < 0.01$ )。此外,用ApoE-siRNA干扰后,U87细胞中GSK-3 $\beta$ 的表达和p-Tau水平均较对照组显著降低,分别为 $0.544 \pm 0.058$  ( $P < 0.001$ ,  $n=3$ )和 $0.474 \pm 0.060$  ( $P < 0.01$ ,  $n=3$ )。结论 AD危险因子ApoE4可能通过上调GSK-3 $\beta$ 的表达而促进Tau的磷酸化。

**关键词:**载脂蛋白E;阿尔茨海默病(AD);Tau蛋白;糖原合酶激酶3 $\beta$

ApoE4 increases glycogen synthase kinase 3 $\beta$  expression and Tau phosphorylation in U87 cellsHE Yanjie<sup>1,2</sup>, WEI Peiru<sup>3</sup>, WU Qiaoyan<sup>1</sup>, ZHANG Xinyu<sup>3</sup>, ZHANG Xingmei<sup>1</sup>, LIU Xiaojia<sup>2</sup>, WANG Fang<sup>1</sup>Department of Neurobiology, College of Basic Medical Sciences<sup>1</sup>, Department of Neurology, Nanfang Hospital<sup>2</sup>, First College of Clinical Medicine<sup>3</sup>, Southern Medical University, Guangzhou 510515, China

**Abstract: Objective** To explore the relations among apolipoprotein E4, Tau protein and glycogen synthase kinase 3 $\beta$  (GSK-3 $\beta$ ). **Methods** U87 cells were transfected with pIRES-EGFP (control) or the recombinant plasmids ApoE4/pIRES-EGFP or ApoE3/pIRES-EGFP, and the expression levels of p-Tau/Tau and GSK-3 $\beta$  in the cells were examined with Western blotting. To further confirm the effect of ApoE on GSK-3 $\beta$  and p-Tau expressions, a short interfering RNA (siRNA) targeting ApoE (ApoE-siRNA) was transfected into U87 cells via Lipofectamine 2000 and the protein expressions were examined 24 h later. **Results** Compared with those in the control group, the expressions levels of both GSK-3 $\beta$  and p-Tau/Tau increased significantly in the cells transfected with ApoE4 and ApoE3 plasmids ( $P < 0.01$ ), and the ApoE4 plasmid produced a more potent effect than the ApoE3 plasmid on the protein expressions ( $P < 0.01$ ). ApoE knockdown resulted in significantly reduced expressions of GSK-3 $\beta$  ( $P < 0.001$ ) and p-Tau ( $P < 0.01$ ) in the cells. **Conclusion** ApoE4 can enhance Tau phosphorylation though upregulating GSK-3 $\beta$ , which sheds light on a new role of ApoE4 in Alzheimer's disease.

**Key words:** ApoE; Alzheimer's disease; Tau; glycogen synthase kinase 3 $\beta$

阿尔茨海默病(Alzheimer's disease, AD)是一种渐进性神经退行性病变,目前其病因还不完全明了。其致病因素与多种基因相关<sup>[1]</sup>,其中ApoE4(载脂蛋白E,第4

亚型)是较为公认的AD危险因子,与散发型AD(sporadic AD, SAD)相关,而散发型AD约占临床AD总病例的95%<sup>[2]</sup>。因此,研究ApoE4在AD病症中的作用机制具有重要意义。人类ApoE蛋白有3种亚型,ApoE2、ApoE3和ApoE4,均由299个氨基酸组成<sup>[3]</sup>。它们之间的差别仅在于第112位和158位氨基酸的不同,且ApoE2与ApoE3及ApoE3与ApoE4之间仅有一个氨基酸的不同(图1)。由上述氨基酸组成的不同就造成了空间构象和功能上的差异<sup>[4]</sup>。与携带ApoE2和E3基因的个体相比,携带单拷贝或双拷贝ApoE4基因的个体患AD的危险性分别增加4倍和12倍<sup>[5]</sup>。

收稿日期:2016-04-06

基金项目:国家自然科学基金(81471388);广东省自然科学基金(2015A030313235);广州市科技计划项目(2014J4100148);教育部大学生创新创业训练计划项目(201312121020)

Supported by National Natural Science Foundation of China (81471388).

作者简介:何颜结,在读硕士研究生,E-mail: 381980753@qq.com;卫佩如,本科,E-mail: 1163979744@qq.com。何颜结、卫佩如共同为第一作者

通信作者:王 方,博士,教授,E-mail: fwang@smu.edu.cn;刘晓加,教授,主任医师,E-mail: xiaojialiu07@126.com

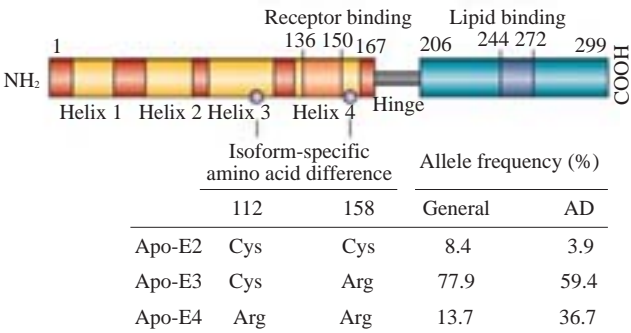


图1 ApoE不同亚型在112和158位氨基酸的区别  
Fig.1 ApoE2, E3, and E4 isoforms differ from one another at amino acid residues 112 and/or 158 (grey circles).

淀粉样斑块(amyloid plaques, AP)及神经元纤维缠结(neurofibrillary tangles, NFT)是AD的特征性病变。其中,NFT是位于神经元胞内由Tau蛋白超磷酸化后聚集而成<sup>[6]</sup>。而Tau蛋白被异常(超)磷酸化后可使胞内微管稳定性降低,使神经元内的运输和通讯功能受损,最终导致细胞死亡<sup>[7]</sup>。研究证明,糖原合成酶激酶3 $\beta$ (glycogen synthase kinase 3 $\beta$ , GSK-3 $\beta$ )与Tau的超磷酸化密切相关<sup>[8-9]</sup>,其异常表达与AD相关。

对ApoE4在AD中作用机制的研究,目前主要分为两类,一是A $\beta$ 依赖性病理机制<sup>[10-11]</sup>,即:ApoE可以亚型依赖形式促进A $\beta$ 斑的形成(ApoE4>ApoE3>ApoE2)。同样ApoE的脂质复合体也能以亚型依赖形式清除A $\beta$ 来减少A $\beta$ 斑(ApoE2>ApoE3>>ApoE4)。另一条途径是A $\beta$ 非依赖性病理机制<sup>[12-13]</sup>,即:ApoE4可在神经元内被蛋白酶切割,产生去除C-末端的片段[ApoE4(1-272)],该片段具有神经元毒性可通过损害线粒体及突触再生功能而产生AD病症<sup>[14]</sup>。ApoE4是否可影响Tau的磷酸化,目前还未见报道。

1 材料和方法

1.1 细胞株及主要试剂

U87脑星形胶质瘤细胞系购自于南京凯基生物公司。胎牛血清(FBS)、DMEM高糖培养基及0.25%胰蛋白酶均为Gibco公司产品。pIRES-EGFP表达质粒(Clontech公司),重组质粒ApoE4/pIRES-EGFP和ApoE3/pIRES-EGFP为本研究组构建,高纯度质粒提取试剂盒(上海生工生物公司),ApoE-siRNA(正向:GCUGGGUGCAGACACUGUCUGAGCA及反向:UGCUCAGACAGUGUCUGCACCCAGC)和对照siRNA均由美国Invitrogen公司合成。细胞转染脂质体Lipofectamine 2000(Invitrogen公司),兔抗人p-Tau抗体(CST公司,Cat no. 11834S),兔抗人GSK-3 $\beta$ 抗体(Cat no. BA0906-1)及羊抗兔IgG-HRP(二抗)均购自

武汉博士德公司。显色剂ECL(Perkin-Elmer公司)。

1.2 ApoE的过表达实验

U87细胞混悬于2 mL/孔的DMEM高糖培养基中(含1% P/S(双抗)和10% FBS),在6孔培养板中,于37  $^{\circ}$ C,5% CO<sub>2</sub>培养至细胞密度达70%~80%时进行质粒转染。

分别将ApoE4/pIRES-EGFP、ApoE3/pIRES-EGFP及空白对照质粒(pIRES-EGFP)与脂质体Lipofectamine 2000混合(1  $\mu$ g:2  $\mu$ L)后转染U87细胞。为了建立ApoE过表达的细胞平台,U87神经胶质细胞瘤细胞被分为3个转染组:第1组为对照质粒pIRES-EGFP载体(即空白质粒,图2A),第2组是ApoE3/pIRES-EGFP重组质粒(即ApoE3过表达组,图2B),第3组是ApoE4/pIRES-EGFP重组质粒(即ApoE4过表达组,图2C)。然后于荧光显微镜下观察被转染细胞的绿色荧光。最后提取各组总蛋白用于下一步实验。

1.3 细胞总蛋白的提取

于上述细胞转染24 h后弃培养液,用预冷的PBS洗涤2次,吸净PBS后加入RIPA裂解液,在冰浴上孵育20 min后充分刮取贴壁细胞后转移至离心管中,于12 000 r/min,4  $^{\circ}$ C下离心15 min,取上清总蛋白于新离心管中。应用Bradford法进行蛋白定量,备用。

1.4 Western blotting(蛋白免疫印迹)实验

上述蛋白样品经SDS-PAGE电泳后,将胶中蛋白转移至PVDF膜上并在室温下用5%脱脂奶粉封闭液封闭1 h,TBST(20 mmol Tris $\cdot$ Cl,150 mmol NaCl,0.1% Tween-20,pH7.4)洗涤2次,然后分别加入适当的一抗于含5%脱脂奶粉的TBST缓冲液中室温孵育1 h:兔抗人GSK-3 $\beta$ 抗体按1:400稀释;兔抗人p-Tau抗体按1:800稀释。接着用TBST洗涤3次,然后用羊抗兔IgG-HRP(二抗,1:5000)于室温中再孵育1 h,TBST洗涤3次。最后将吸干水分的PVDF膜置于BioRad荧光成像仪的托板上,在膜上均匀加上ECL化学发光液并进行自动曝光拍照。选取曝光适当的照片进行分析。

1.5 ApoE-siRNA干扰实验

将U87细胞培养至密度达70%~80%(见1.2.1),用脂质体Lipofectamine 2000分别与双链ApoE-siRNA及对照siRNA混匀,室温放置15 min。而后加入U87细胞内,使siRNA的终浓度为150 nmol/L继续孵育24 h后提取实验组和对照组的细胞总蛋白。最后用Western blotting法检测相应蛋白的含量(见1.4)并进行统计学对比。

1.6 统计学分析

应用SPSS 18.0软件处理至少3次独立实验的数据,以平均数 $\pm$ 标准差表示。两两比较采用两独立样本t

检验;多组间比较采用单因素方差分析(One-way ANOVA)。  $P<0.05$  认为差异具有统计学意义。

## 2 结果

### 2.1 ApoE4和ApoE3表达质粒转染U87细胞的荧光信号检测

在转染24 h后,于倒置荧光显微镜下检测绿色荧光蛋白EGFP的荧光信号,以判明转染质粒在细胞中的过表达情况。结果表明:ApoE4,ApoE3重组质粒及对对照质粒均成功转染入宿主细胞并表达出非融合的EGFP指示蛋白。

### 2.2 ApoE4可上调GSK-3 $\beta$ 表达及增加Tau的磷酸化

从2.1所转染的3组U87细胞中分别提取其总蛋白后利用Western blotting检测各实验组的GSK-3 $\beta$ 、Tau蛋白的磷酸化水平(图3A)并进行统计学处理。结果显示,与对照组相比,GSK-3 $\beta$ 蛋白水平的相对变化值分别为:ApoE4组( $1.819\pm0.130$ ,  $P<0.01$ ,  $n=3$ )和ApoE3组( $1.336\pm0.130$ ,  $P<0.01$ ,  $n=3$ ),差异具有统计学意义;且ApoE4和ApoE3组间也有差异( $P<0.01$ ,图3B)。这一结果表明,ApoE4具有更强的上调GSK-3 $\beta$ 作用。同时,与对照组相比,ApoE4和ApoE3使p-Tau蛋白变化的相对值分别为 $1.587\pm0.027$  ( $P<0.01$ ,  $n=3$ )和 $1.436\pm0.026$  ( $P<0.01$ ,  $n=3$ ),差异均具有统计学意义;同样,ApoE4和ApoE3组间也有差异( $P<0.01$ )。这一结果也表明,ApoE4较ApoE3有更强的增加Tau蛋白磷酸化水平的作用(图3C)。有趣的是为何ApoE3也可使Tau相关的该激酶表达上调及Tau磷酸化水平的增加。

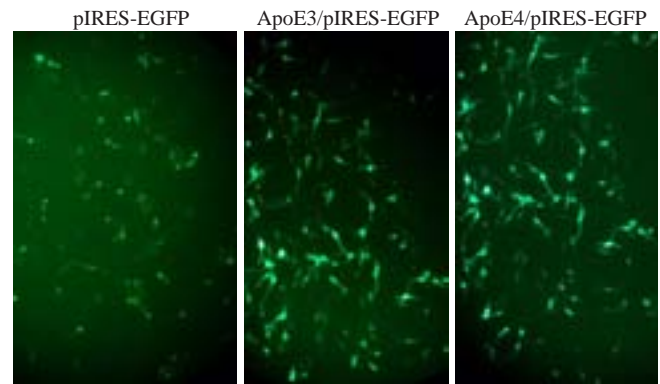


图2 不同EGFP非融合重组质粒转染U87细胞的绿色荧光图像

Fig.2 Expression of non-fused EGFP in U87 cells 24 after transfection with ApoE4, ApoE3 and pIRES-EGFP vector plasmids detected under the inverted fluorescent microscope (Original magnification:  $\times 20$ ).

### 2.3 ApoE-siRNA干扰可降低GSK-3 $\beta$ 的表达及Tau蛋白的磷酸化

为进一步验证GSK-3 $\beta$ 与Tau蛋白磷酸化水平与ApoE相关,我们将干扰ApoE表达的siRNA(ApoE-siRNA)转染至U87细胞,24 h后提取总蛋白并利用Western blotting检测对照组和干扰组的GSK-3 $\beta$ 表达和Tau蛋白磷酸化的变化(图4A)。结果表明,干扰组的GSK-3 $\beta$ 的表达与对照组相比明显降低( $0.544\pm0.058$ ,  $P<0.001$ ,  $n=3$ ,图4B)。同样,siRNA干扰后磷酸化Tau蛋白的相对变化值与对照组相比也明显降低( $0.474\pm0.060$ ,  $P<0.01$ ,  $n=3$ ,图4C)。这些结果进一步表明ApoE过表达可使GSK-3 $\beta$ 水平升高且可增加Tau蛋白

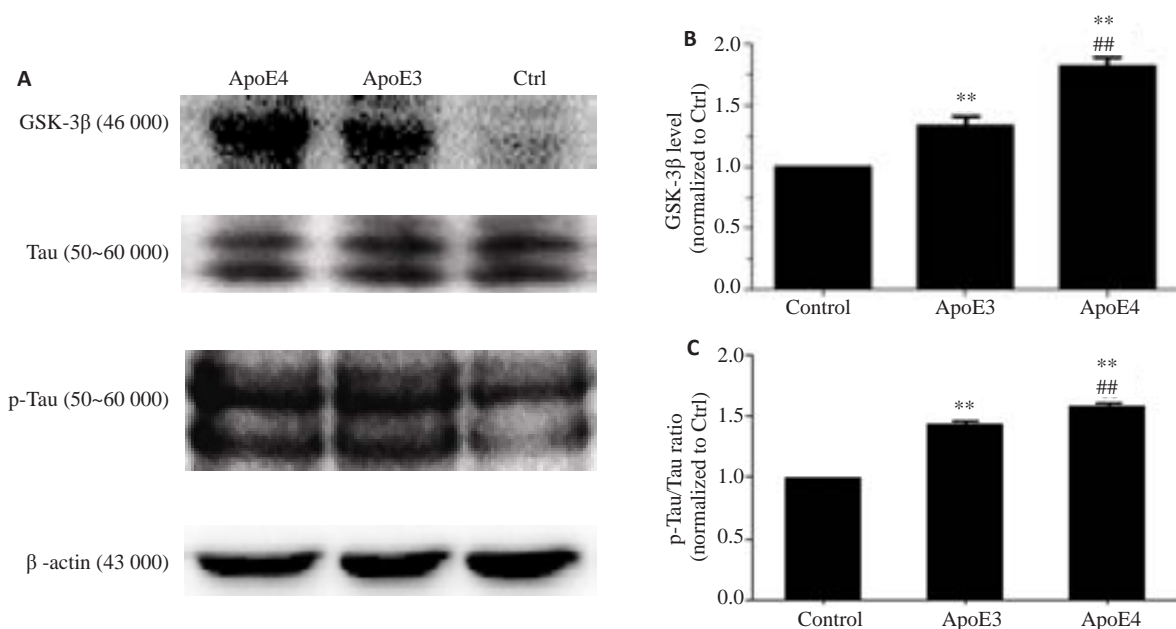


图3 ApoE4和ApoE3对GSK-3 $\beta$ 水平及Tau磷酸化的影响

Fig.3 Both ApoE4 and ApoE3, especially the former, upregulate the expression of GSK-3 $\beta$  and enhance the phosphorylation levels of Tau. \*\* $P<0.01$  vs control group, # $P<0.01$  vs ApoE3 group.



的磷酸化水平。

本研究的结果显示:ApoE4的表达量与GSK-3 $\beta$ 的表达及Tau蛋白的磷酸化水平成正相关。提示ApoE4

在AD中的作用机制之一可能是通过上调GSK-3 $\beta$ 而使Tau蛋白的磷酸化水平上升以导致AD病症。对ApoE4在AD中的作用机制提出了新的解释。

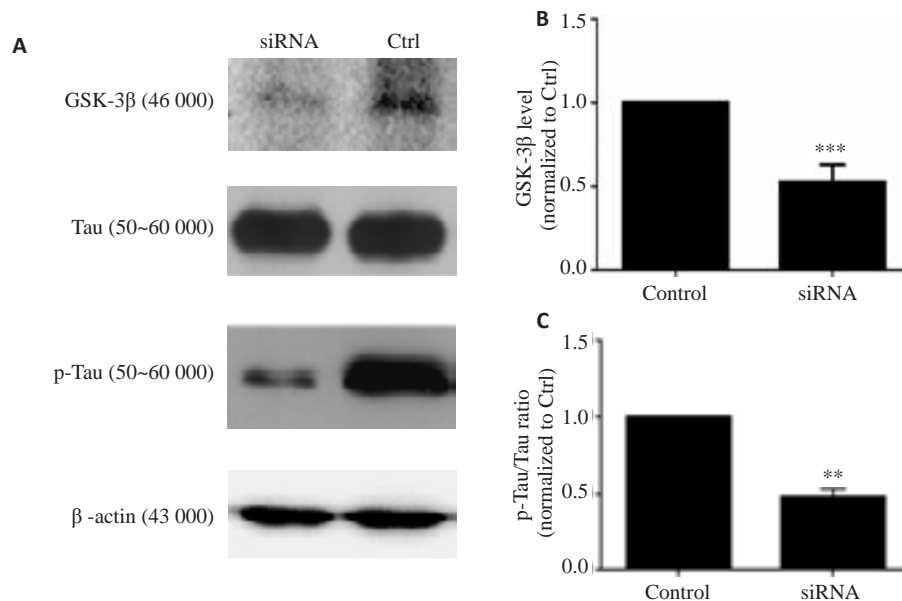


图4 ApoE-siRNA对GSK-3 $\beta$ 及Tau蛋白的磷酸化水平的影响

Fig.4 ApoE-siRNA down-regulates the expression of GSK-3 $\beta$  and decreases the phosphorylation of Tau. \*\*\* $P < 0.001$  and \*\* $P < 0.01$  vs control group.

### 3 讨论

AD是一种多因素引起的中枢神经退行性疾病,我国现有AD病患者达350多万,65岁以上老年人总患病率为5.9%,与西方国家资料接近<sup>[15]</sup>。至今AD的发病机制尚未完全明了,目前主要有:淀粉样多肽(A $\beta$ )致病说<sup>[16]</sup>、Tau蛋白超磷酸化致病说<sup>[7]</sup>和遗传变异致病说<sup>[17]</sup>,等。在ApoE不同亚型的遗传背景因素中,ApoE4亚型被认为是AD病的危险因子<sup>[18]</sup>而ApoE3和ApoE2亚型不是。研究表明,GSK-3 $\beta$ 是Tau磷酸化的主要激酶之一<sup>[8, 19]</sup>,而异常磷酸化的Tau可导致神经元功能的减退甚至死亡。从而认为GSK-3 $\beta$ 可通过使Tau超磷酸化促进AD的病程进展。但ApoE4与GSK-3 $\beta$ 间的相互关系还未见报道。

在正常情况下ApoE在脑中主要由星形胶质细胞表达,而目前所使用的人神经源性细胞系(如M-17, SH-SY5Y等)在正常情况下ApoE的表达水平很低(只有当受某些应激刺激或受损伤时才表达ApoE)<sup>[3, 5]</sup>。表明在脑星形胶质细胞中存在特有的ApoE基因调控系统。因此,我们在实验中采用U87人脑星形胶质细胞源性细胞系进行研究。拟通过在U87细胞中表达ApoE4和ApoE3来探讨它们在信号转导和功能上的差异。

本研究发现,在U87细胞中过表达ApoE4或ApoE3

均使得GSK-3 $\beta$ 的表达上调及增高Tau蛋白的磷酸化水平。而当用ApoE的抑制性siRNA处理后GSK-3 $\beta$ 的表达及Tau蛋白的磷酸化水平(p-Tau)均显著下降。值得注意的是:ApoE4过表达组与ApoE3过表达组之间存在着显著差异( $P < 0.01$ ),即如果将ApoE3(组)作为对照则ApoE4(组)仍具有显著上调GSK-3 $\beta$ 表达和增高p-Tau水平的作用。这可能是ApoE4作为AD危险因子的作用之一。对于ApoE3在本实验系统中也可上调GSK-3 $\beta$ 表达的现象,我们认为ApoE3的过表达使细胞内质网中未折叠蛋白增多而通过其感应分子IRE1 (inositol-requiring enzyme 1,肌醇依赖酶1)产生内质网应激反应(ER stress),即未折叠蛋白反应(unfolded protein response, UPR)。从而导致NF- $\kappa$ B转录因子表达增高<sup>[20-21]</sup>继而引起GSK-3 $\beta$ 的表达上调。采用转录因子结合序列的分析发现([http://alggen.lsi.upc.es/cgi-bin/promo\\_v3/promo/promoinit.cgi?dirDB=TF\\_8.3](http://alggen.lsi.upc.es/cgi-bin/promo_v3/promo/promoinit.cgi?dirDB=TF_8.3)),在GSK-3 $\beta$ 基因的启动子<sup>[22]</sup>中存在NF- $\kappa$ B的转录结合位点。而ApoE4较ApoE3具更为显著的上述作用则是源于它们分子间在空间构象上的差异<sup>[3]</sup>。基于上述资料和分析,本研究的结果表明ApoE4可能通过上调GSK-3 $\beta$ 的表达而增强Tau的磷酸化并以此促进AD病程的发展,为探索ApoE4在AD中的作用机制提供了新

的实验依据。

### 参考文献:

- [1] Ballard C, Gauthier S, Corbett A, et al. Alzheimer's disease [J]. *Lancet*, 2011, 377(9770): 1019-31.
- [2] Sadigh-Eteghad S, Talebi M, Farhoudi M. Association of apolipoprotein E epsilon 4 allele with sporadic late onset Alzheimer's disease. A meta-analysis [J]. *Neurosciences*, 2012, 17 (4): 321-6.
- [3] Liu CC, Liu CC, Kanekiyo T, et al. Apolipoprotein E and alzheimer disease: risk, mechanisms and therapy [J]. *Nat Rev Neurol*, 2013, 9 (2): 106-18.
- [4] Zhong N, Weisgraber KH. Understanding the association of apolipoprotein E4 with Alzheimer disease: clues from its structure [J]. *J Biol Chem*, 2009, 284(10): 6027-31.
- [5] Kim J, Basak JM, Holtzman DM. The role of apolipoprotein E in alzheimer's disease [J]. *Neuron*, 2009, 63(3): 287-303.
- [6] Bouras C, Hof PR, Giannakopoulos P, et al. Regional distribution of neurofibrillary tangles and senile plaques in the cerebral cortex of elderly patients: a quantitative evaluation of a one-year autopsy population from a geriatric hospital [J]. *Cereb Cortex*, 1994, 4(2): 138-50.
- [7] Khan SS, Bloom GS. Tau: the center of a signaling nexus in alzheimer's disease [J]. *Front Neurosci*, 2016, 10(1/5): 31.
- [8] Rankin CA, Gamblin TC. Tau phosphorylation by GSK-3 $\beta$  promotes tangle-like filament morphology [J]. *Mol Neurodegener*, 2007, 2: 12.
- [9] Billingsley ML, Kincaid RL. Regulated phosphorylation and dephosphorylation of tau protein: effects on microtubule interaction, intracellular trafficking and neurodegeneration [J]. *Biochem J*, 1997, 323(Pt 3): 577-91.
- [10] Castellano JM, Kim J, Stewart FR, et al. Human apoE isoforms differentially regulate brain amyloid- $\beta$  peptide clearance [J]. *Sci Transl Med*, 2011, 3(89): 89ra57.
- [11] Jungsu Kim JM, David M. Holtzman. The role of apolipoprotein E in alzheimer's disease [J]. *Neuron*, 2009, 63(3): 287-303.
- [12] Huang Y. Abeta-independent roles of apolipoprotein E4 in the pathogenesis of Alzheimer's disease [J]. *Trends Mol Med*, 2010, 16 (6): 287-94.
- [13] Harris FM, Brecht WJ, Xu Q, et al. Carboxyl-terminal-truncated apolipoprotein E4 causes Alzheimer's disease-like neurodegeneration and behavioral deficits in transgenic mice [J]. *Proc Natl Acad Sci USA*, 2003, 100(19): 10966-71.
- [14] Brecht WJ, Harris FM, Chang S, et al. Neuron-specific apolipoprotein e4 proteolysis is associated with increased tau phosphorylation in brains of transgenic mice [J]. *J Neurosci*, 2004, 24(10): 2527-34.
- [15] 王华丽, 于欣. 中国阿尔茨海默病的流行病学现状 [J]. *中华全科医师杂志*, 2006, 5(6): 358-60.
- [16] Hardy J, Allsop D. Amyloid deposition as the central event in the aetiology of Alzheimer's disease [J]. *Trends Pharmacol Sci*, 1991, 12 (10): 383-8.
- [17] Bertram L, Lill CM, Tanzi RE. The genetics of Alzheimer disease: back to the future [J]. *Neuron*, 2010, 68(2): 270-81.
- [18] Strittmatter WJ, Saunders AM, Schmechel D, et al. Apolipoprotein E: high-avidity binding to beta-amyloid and increased frequency of type 4 allele in late-onset familial Alzheimer disease [J]. *Proc Natl Acad Sci USA*, 1993, 90(5): 1977-81.
- [19] Llorens-Martín M, Fuster-Matanzo A, Teixeira CM, et al. GSK-3 $\beta$  overexpression causes reversible alterations on postsynaptic densities and dendritic morphology of hippocampal granule neurons *in vivo* [J]. *Mol Psychiatry*, 2013, 18(4): 451-60.
- [20] Gotoh T, Endo M, Oike Y. Endoplasmic reticulum stress-related inflammation and cardiovascular diseases [J]. *Int J Inflam*, 2011; 2011: 259462.
- [21] Steinbrecher KA, Wilson W, Cogswell PC, et al. Glycogen synthase kinase 3 $\beta$  functions to specify gene-specific, NF-kappaB-dependent transcription [J]. *Mol Cell Biol*, 2005, 25(19): 8444-55.
- [22] Lau KF, Miller CC, Anderton BH, et al. Molecular cloning and characterization of the human glycogen synthase kinase-3 $\beta$  promoter [J]. *Genomics*, 1999, 60(2): 121-8.

(编辑: 经 媛)